



Halbleiterlabor  
der Max-Planck-  
Institute  
für Physik und  
extraterrestrische  
Physik

# Sub-electron noise measurements on Ping-Pong devices



**Stefan Wölfel**

**Ringberg Workshop**

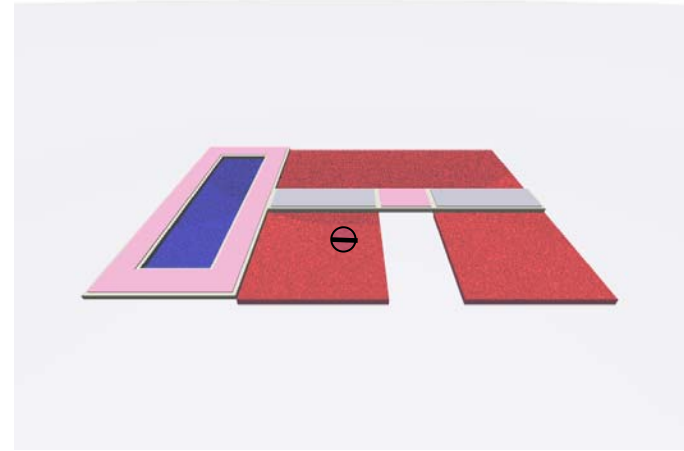
**Schloss Ringberg, Tegernsee**

**im sonnigen April 2007**



Halbleiterlabor  
der Max-Planck-  
Institute  
für Physik und  
extraterrestrische  
Physik

# Sub-electron noise measurements on RNDR devices



**Stefan Wölfel**

**HLL Ringbergmeeting  
Schloss Ringberg, Tegernsee**

**im sonnigen April 2007**



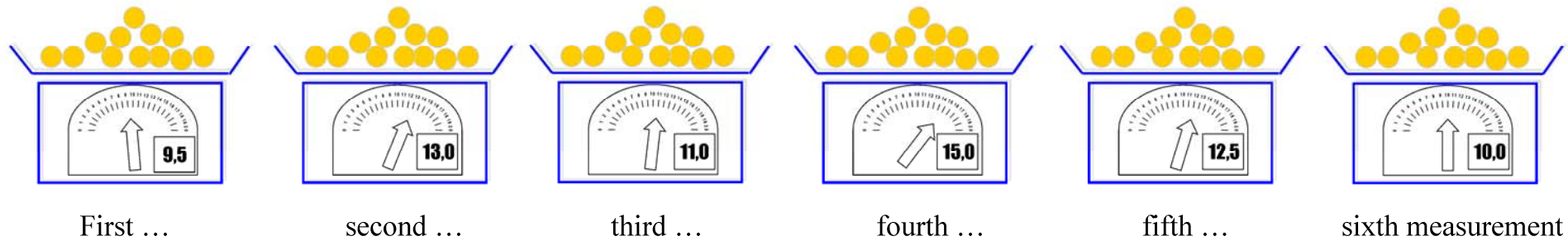
# Outline

Halbleiterlabor  
der Max-Planck-  
Institute  
für Physik und  
extraterrestrische  
Physik

- ✘ The basic idea of a RNDR device**
- ✘ The DEPFET concept**
- ✘ Realisation of a RNDR device**
- ✘ Measurements**
  - ✘ Charge loss in non HE devices**
  - ✘ resolution**
  - ✘ laserspectra**
- ✘ discussion of readout speed and optimum measurement time**
- ✘ New devices in production**



# The basic idea of a RNDR device



- ✘ In each measurement are errors, no measurement is exact!
- ✘ Measuring the number of yellow balls six times, you get six different results!

F1

50:50

STOP

F2



F3



Why is it better to measure the balls multiple times ?

➤ A: The scale becomes more precise (warm up effect).

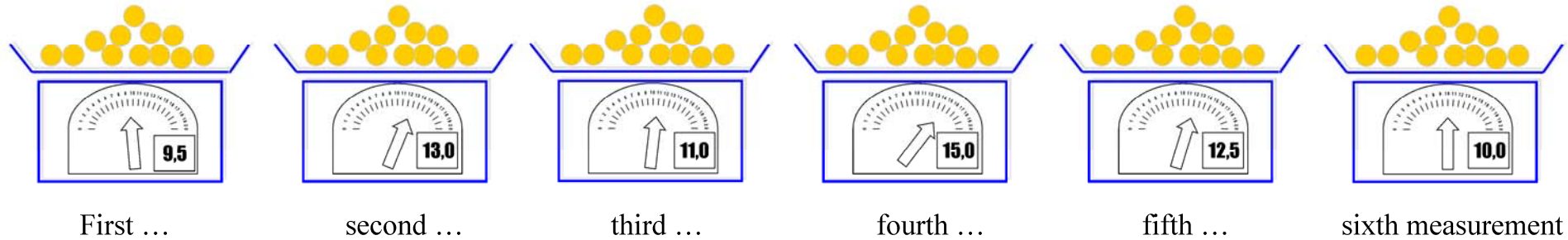
➤ B: You can choose the value, which fits best to your theory.

➤ C: Calculating the mean of all meas. results in a more precise value.

➤ D: It is not better.



## Answer C:



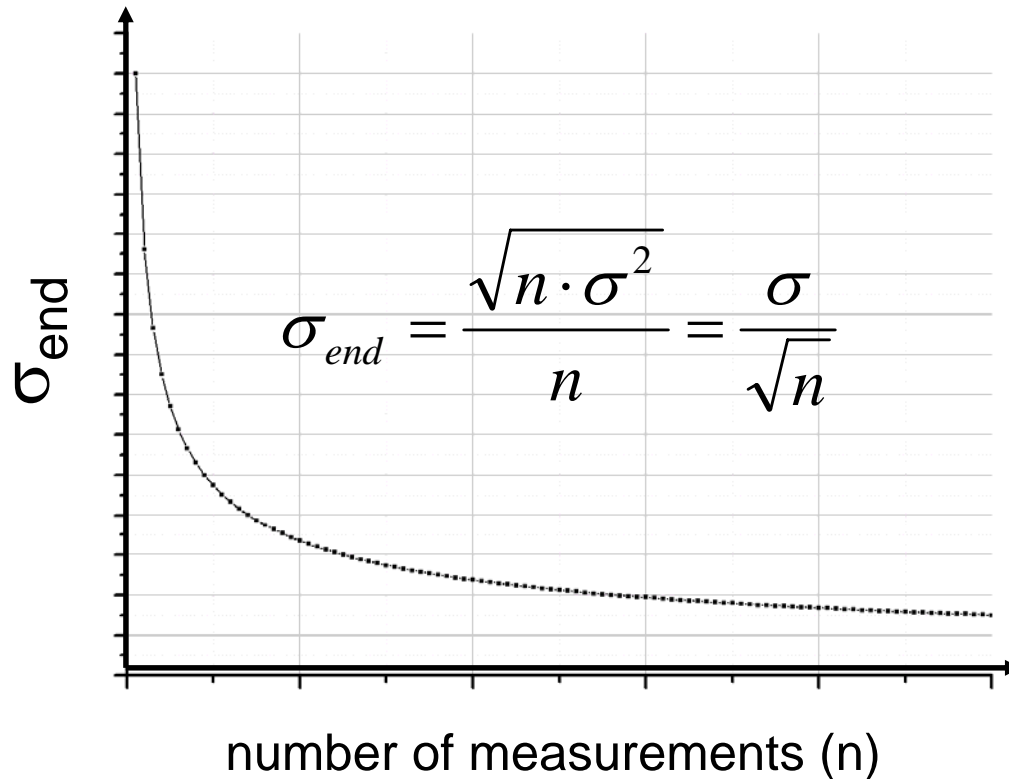
$$\frac{9,5 + 13,0 + 11,0 + 15,0 + 12,5 + 10,0}{6} = 11,83$$

$$\text{Real number of yellow balls} = 12$$



# The basic idea of a RNDR device

- ✘ By measuring the charge multiple ( $n$ ) times the noise ( $\sigma$ ) can be reduced by  $1/\sqrt{n}$ .
- ✘ Because the collected charge is stored during readout in the DEPFET-RNDR, the very same charge can be measured multiple times.
- ✘ => name: **repetitive non destructive readout** -> RNDR



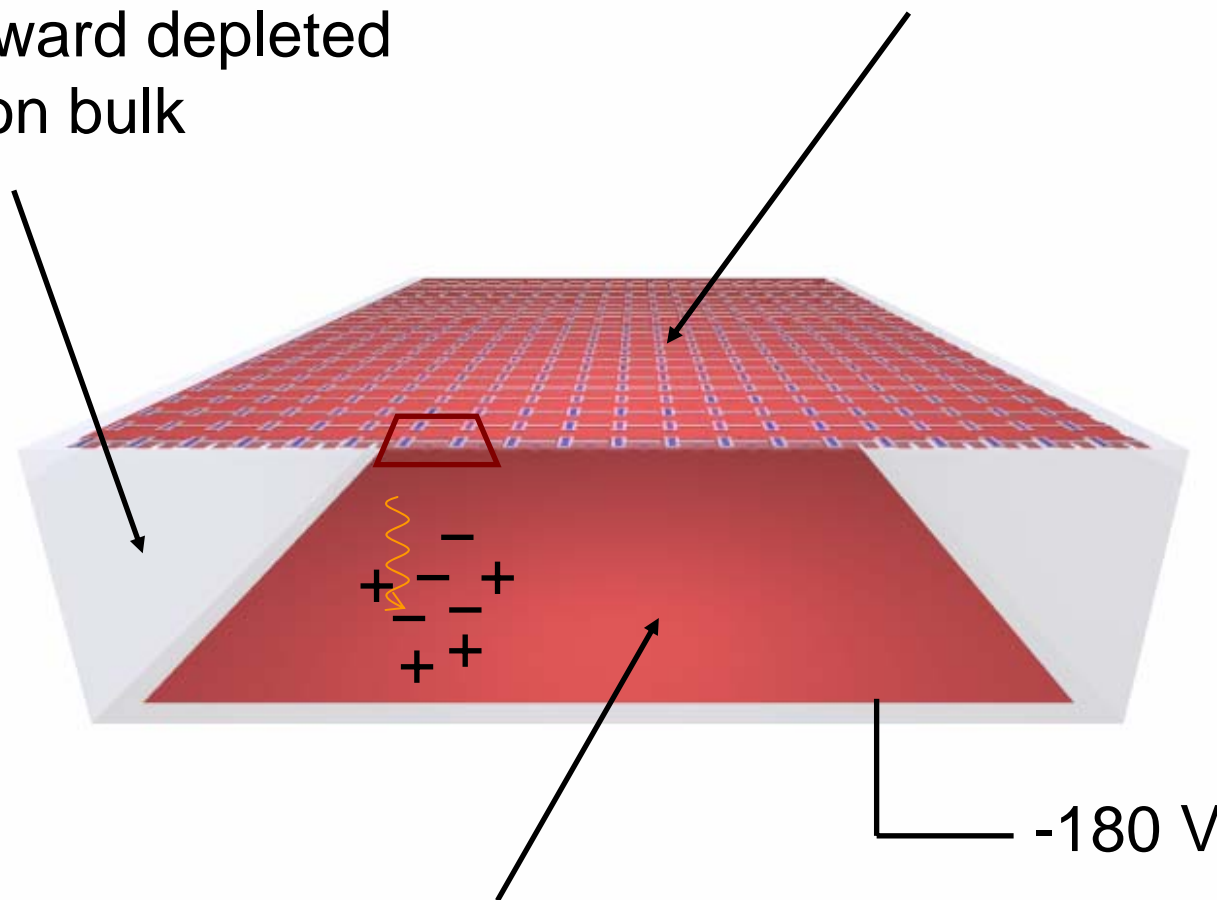


Halbleiterlabor  
der Max-Planck-  
Institute  
für Physik und  
extraterrestrische  
Physik

# Realisation of a RNDR Detector

completely  
sideward depleted  
silicon bulk

structured frontside



homogenous entrance window

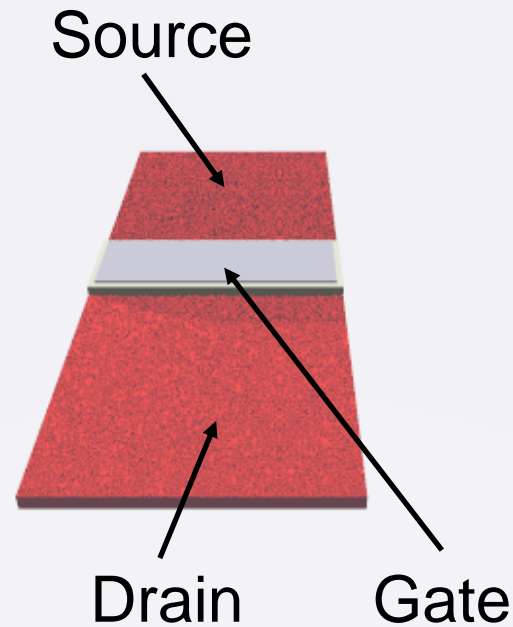
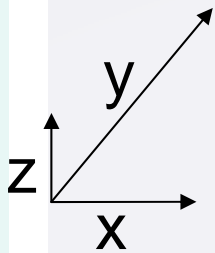
-180 V





# Realisation of a RNDR Detector

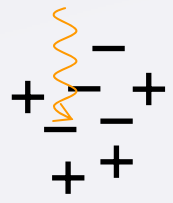
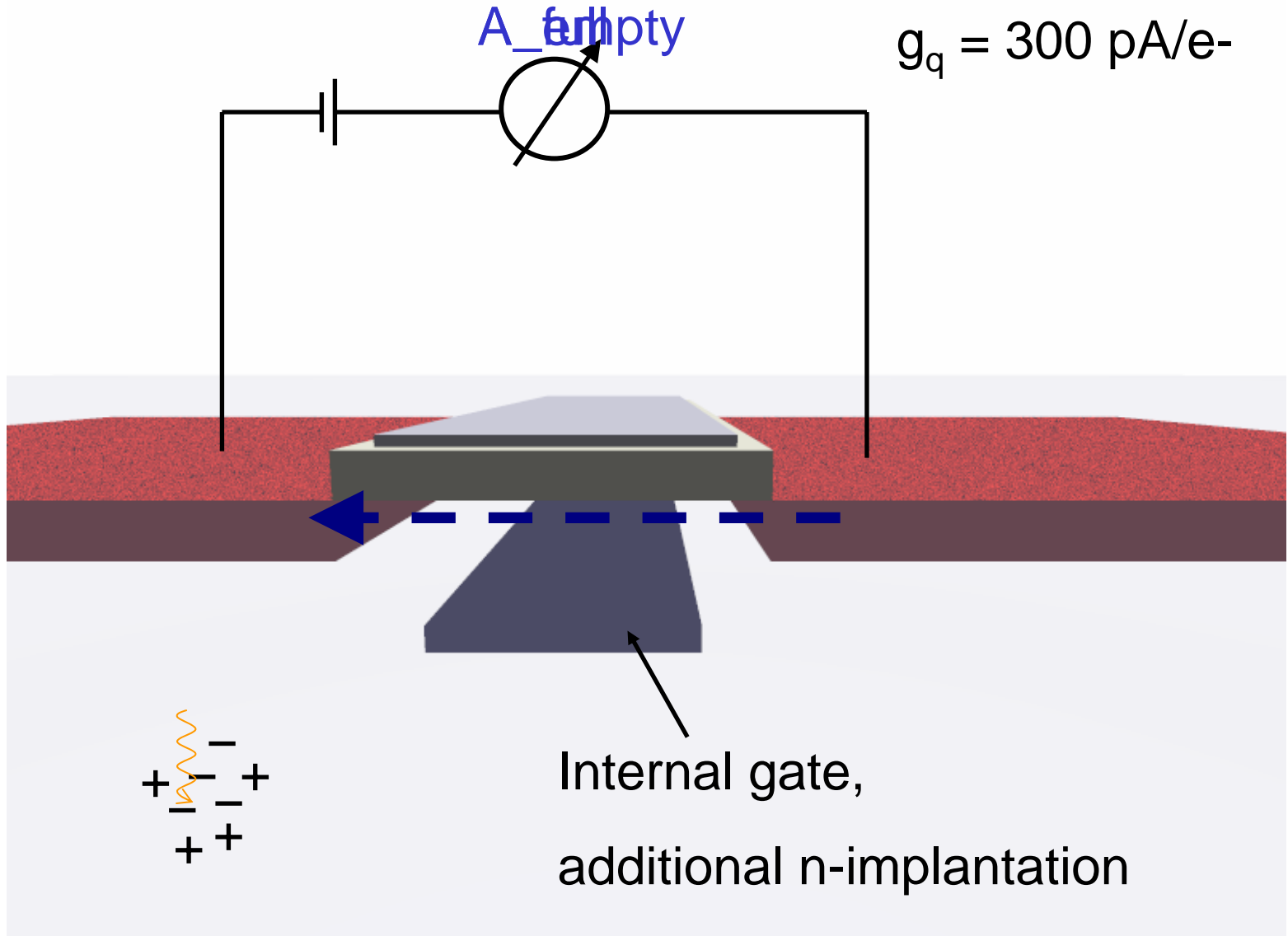
Halbleiterlabor  
der Max-Planck-  
Institute  
für Physik und  
extraterrestrische  
Physik





# Charge measurement

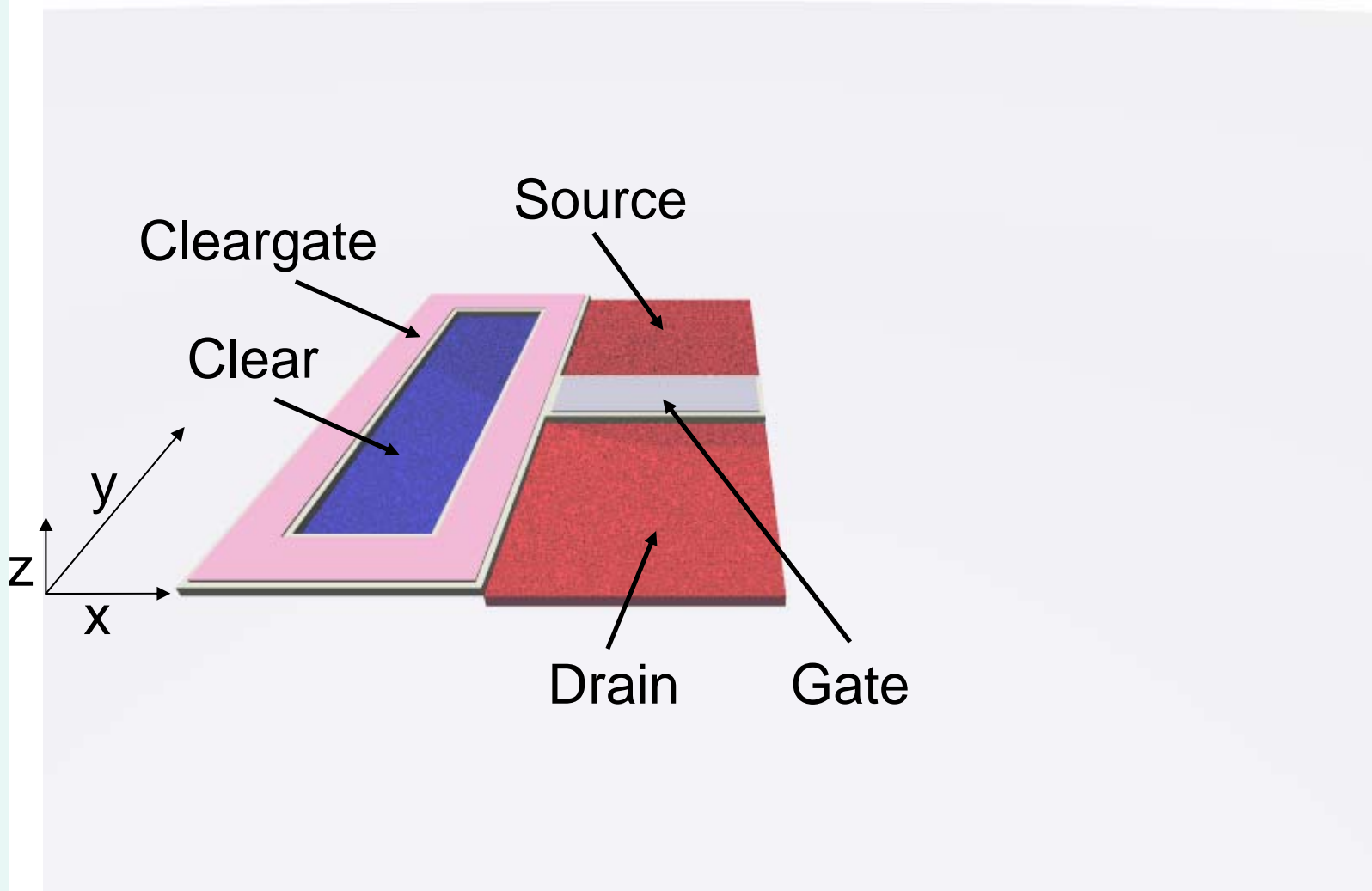
Halbleiterlabor  
der Max-Planck-  
Institute  
für Physik und  
extraterrestrische  
Physik





# The Clearcontact

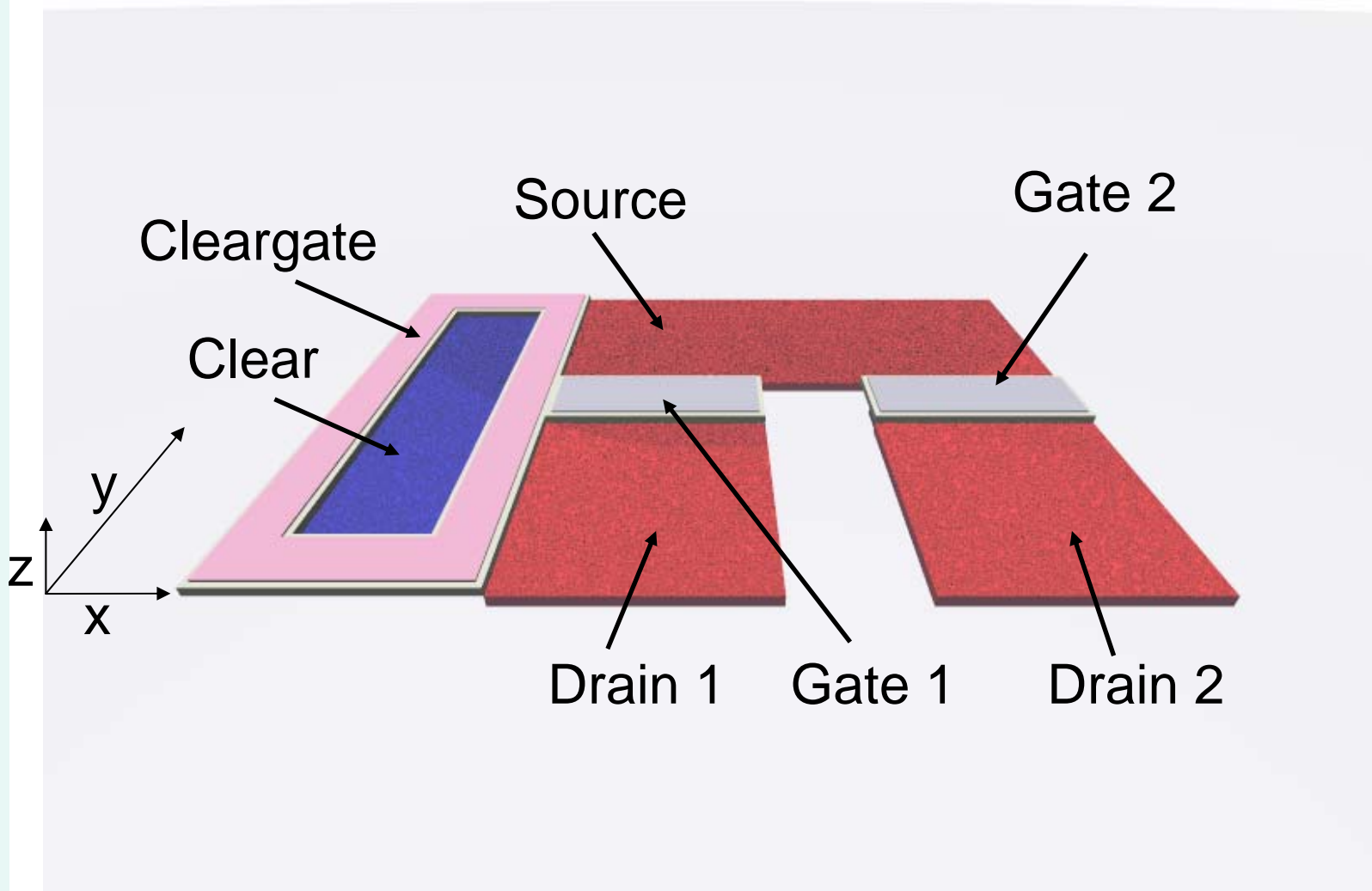
Halbleiterlabor  
der Max-Planck-  
Institute  
für Physik und  
extraterrestrische  
Physik





# The RNDR concept

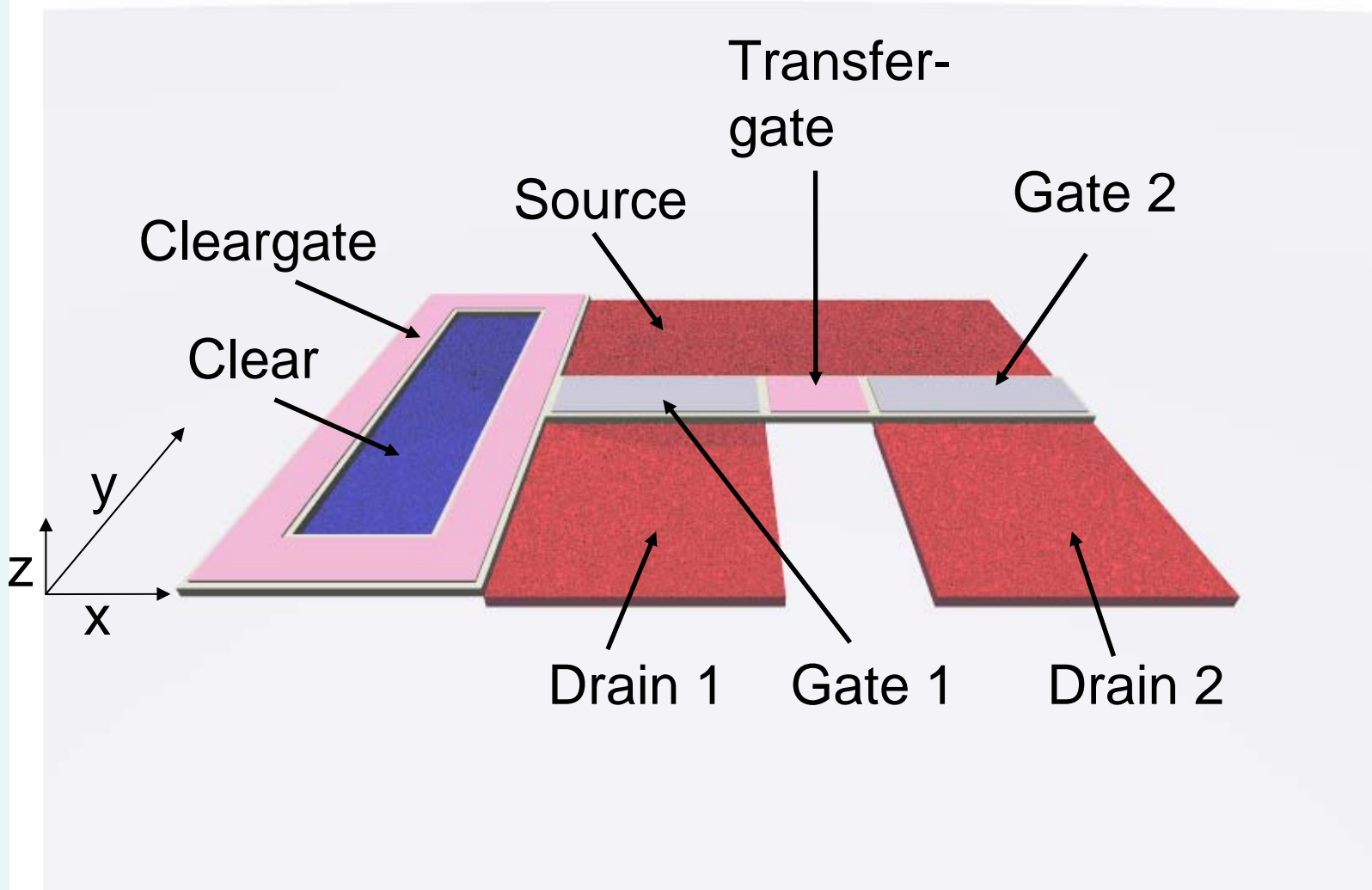
Halbleiterlabor  
der Max-Planck-  
Institute  
für Physik und  
extraterrestrische  
Physik





# The RNDR concept

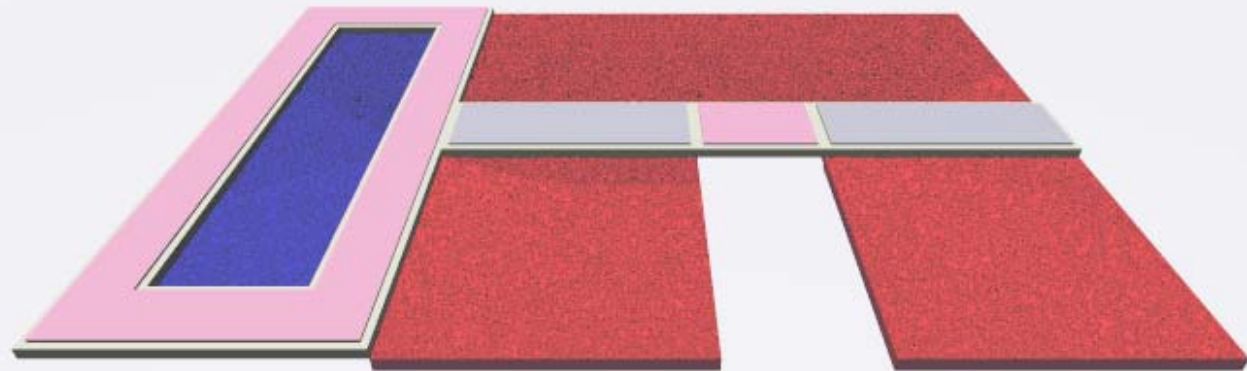
Halbleiterlabor  
der Max-Planck-  
Institute  
für Physik und  
extraterrestrische  
Physik





# The RNDR concept

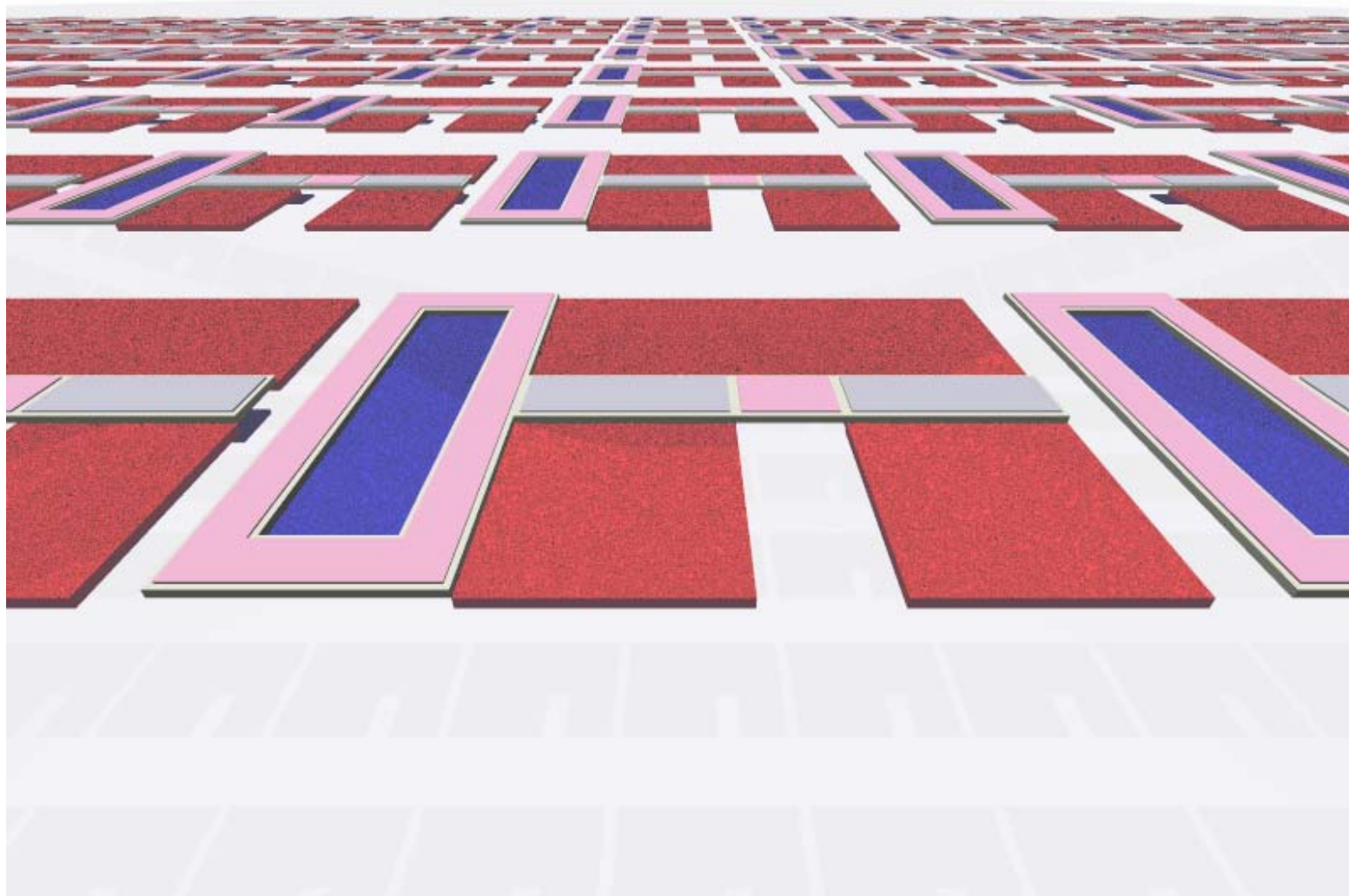
Halbleiterlabor  
der Max-Planck-  
Institute  
für Physik und  
extraterrestrische  
Physik





# Matrix operation

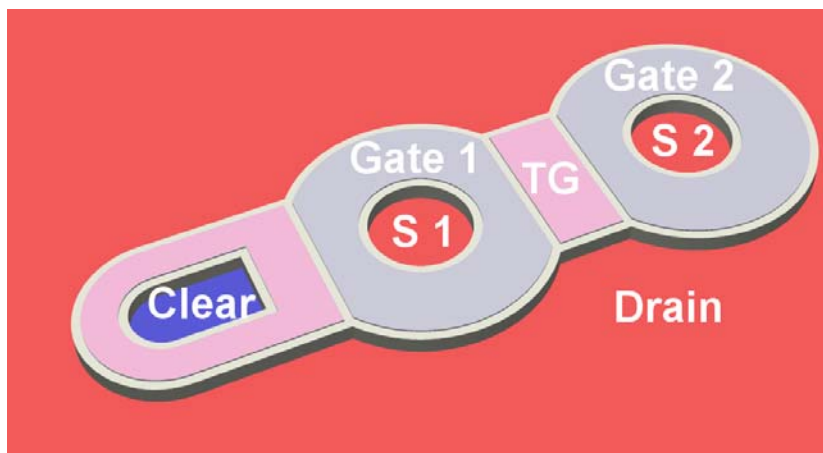
Halbleiterlabor  
der Max-Planck-  
Institute  
für Physik und  
extraterrestrische  
Physik





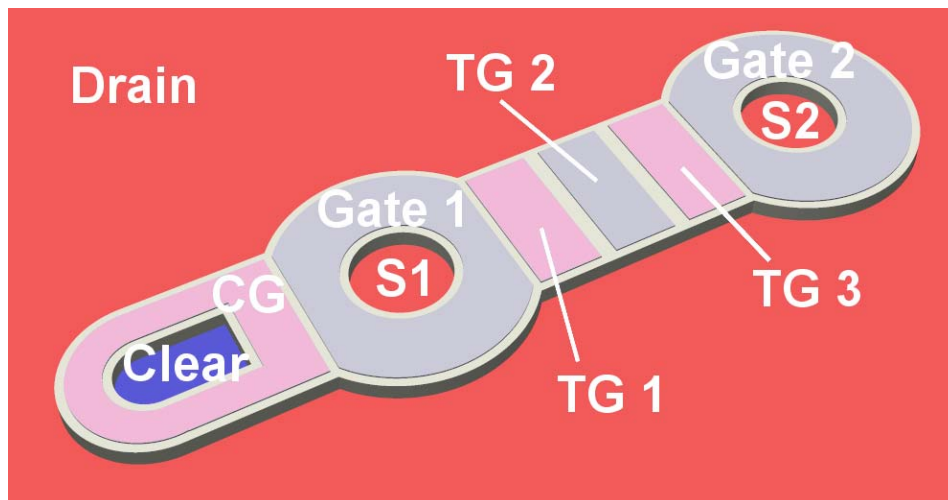


## Circular variants



Two circular  
DEPFETs with one  
transferegate

Two circular  
DEPFETs with  
three transferegates

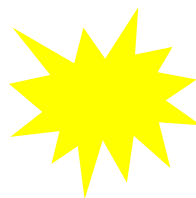
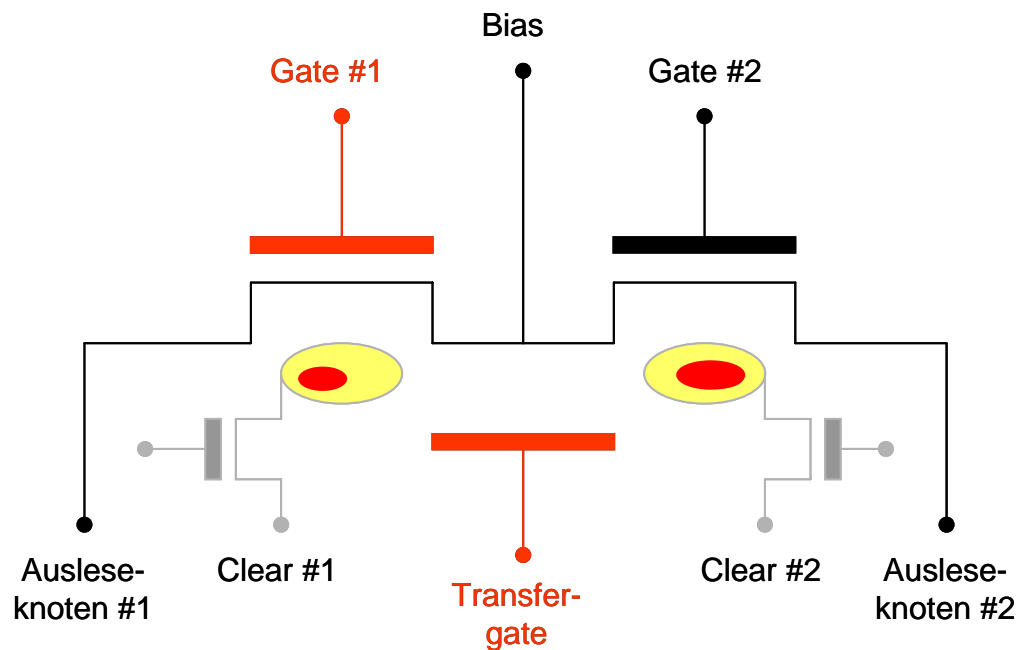






# The RNDR principle

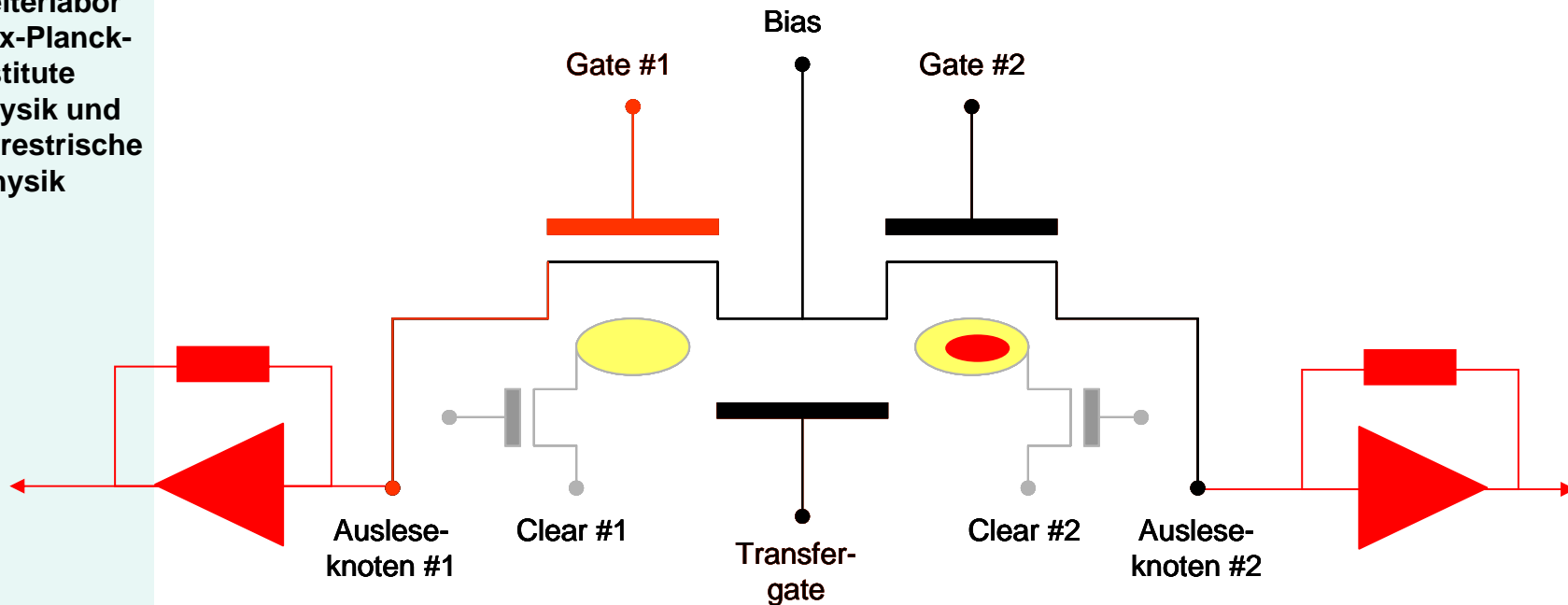
Halbleiterlabor  
der Max-Planck-  
Institute  
für Physik und  
extraterrestrische  
Physik





# RNDR principle

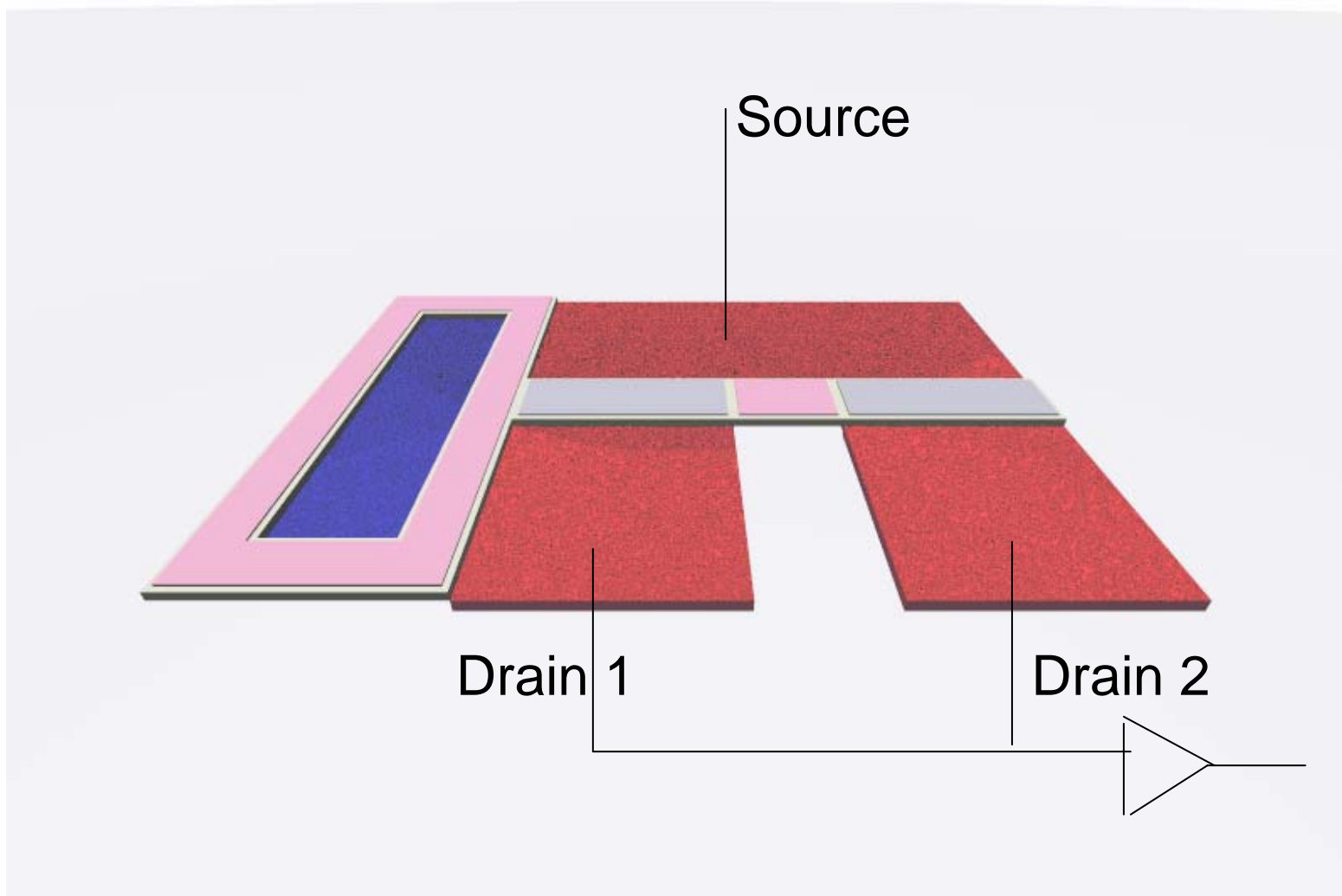
Halbleiterlabor  
der Max-Planck-  
Institute  
für Physik und  
extraterrestrische  
Physik





# The RNDR concept

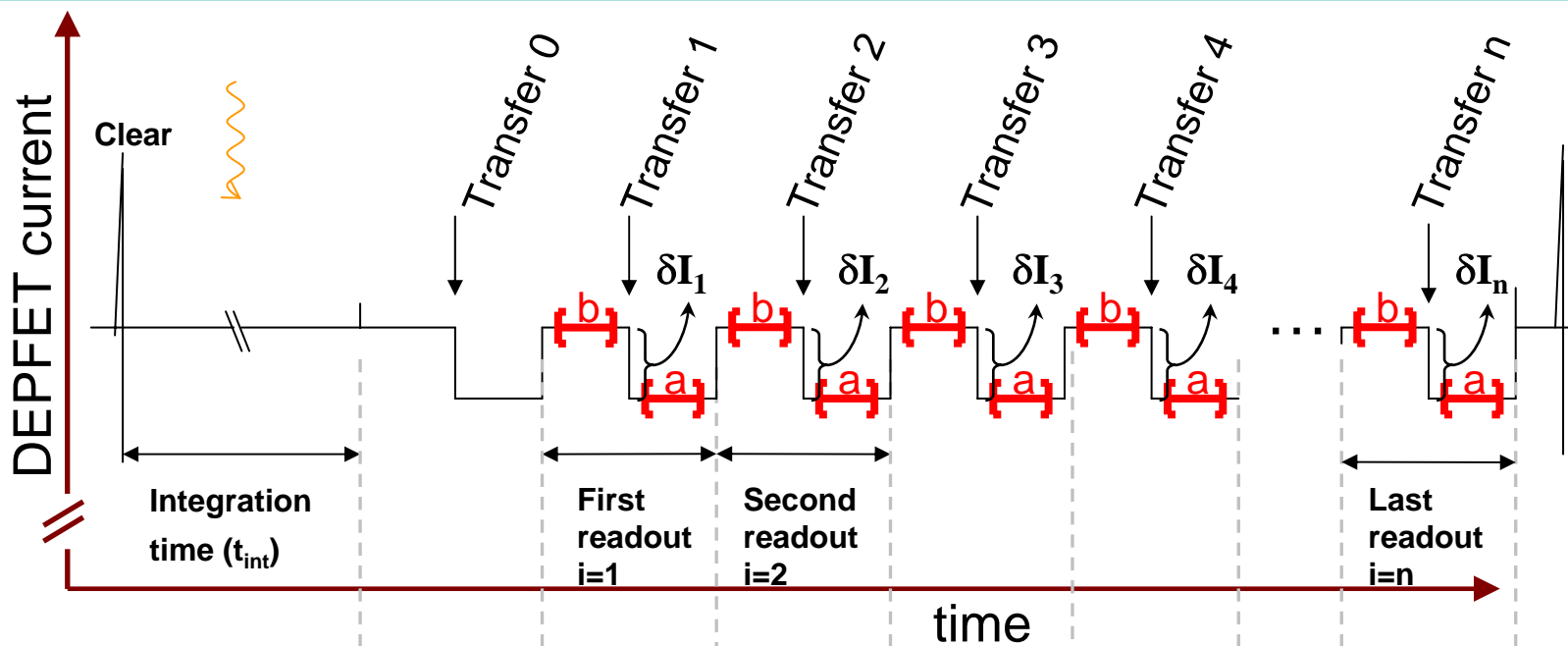
Halbleiterlabor  
der Max-Planck-  
Institute  
für Physik und  
extraterrestrische  
Physik





Halbleiterlabor  
der Max-Planck-  
Institute  
für Physik und  
extraterrestrische  
Physik

# The readout sequence



DEPFET on	2	1	2	1	2	...	2	1
Charge in DEPFET	1/2	1	2	1	2	1	2	1

- Depfet 1
- Depfet 2
- measurement before transfer
- measurement after transfer



# First Summary

Halbleiterlabor  
der Max-Planck-  
Institute  
für Physik und  
extraterrestrische  
Physik

✘ With the DEPFET detector, the collected charge can be **measured**

✘ Collected charge is **stored** during readout

➔ charge can be **measured arbitrarily often**

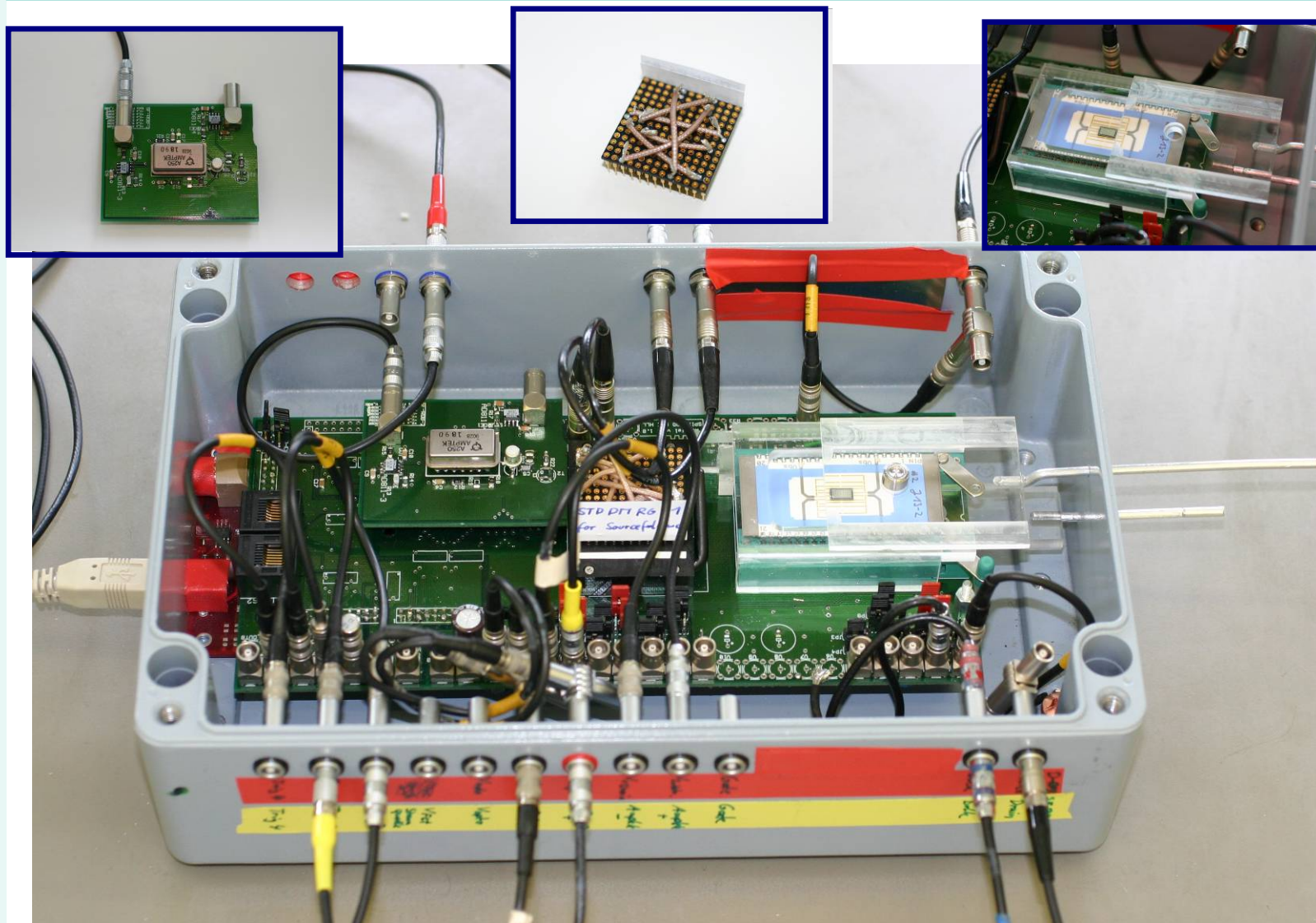
**All other good detector properties remain untouched:**

- **high quantum efficiency**
- **low leakage current**
- **fast signal charge collection**
- **homogenous entrance window**



# The measurement setup

Halbleiterlabor  
der Max-Planck-  
Institute  
für Physik und  
extraterrestrische  
Physik

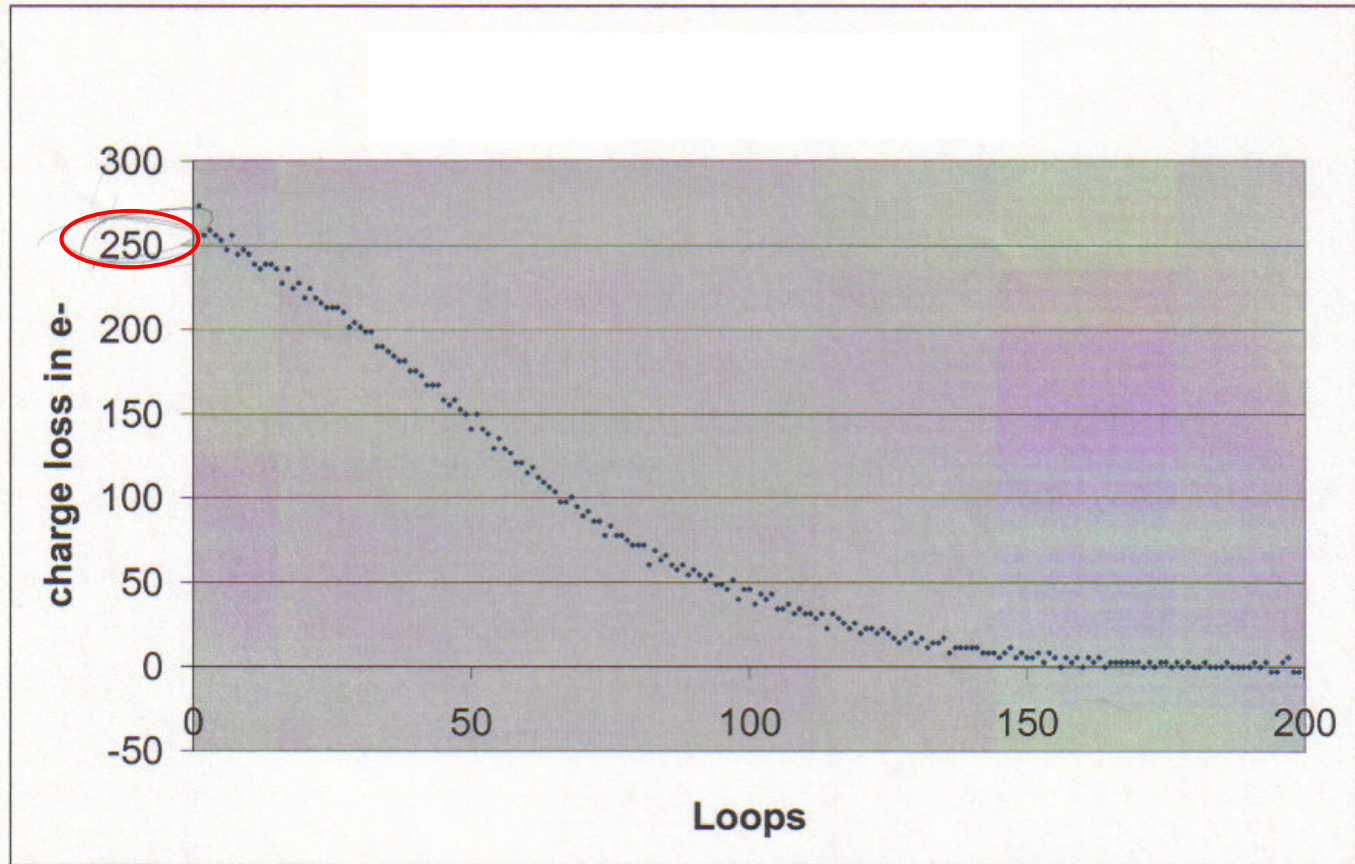






# Charge loss with non-HE devices

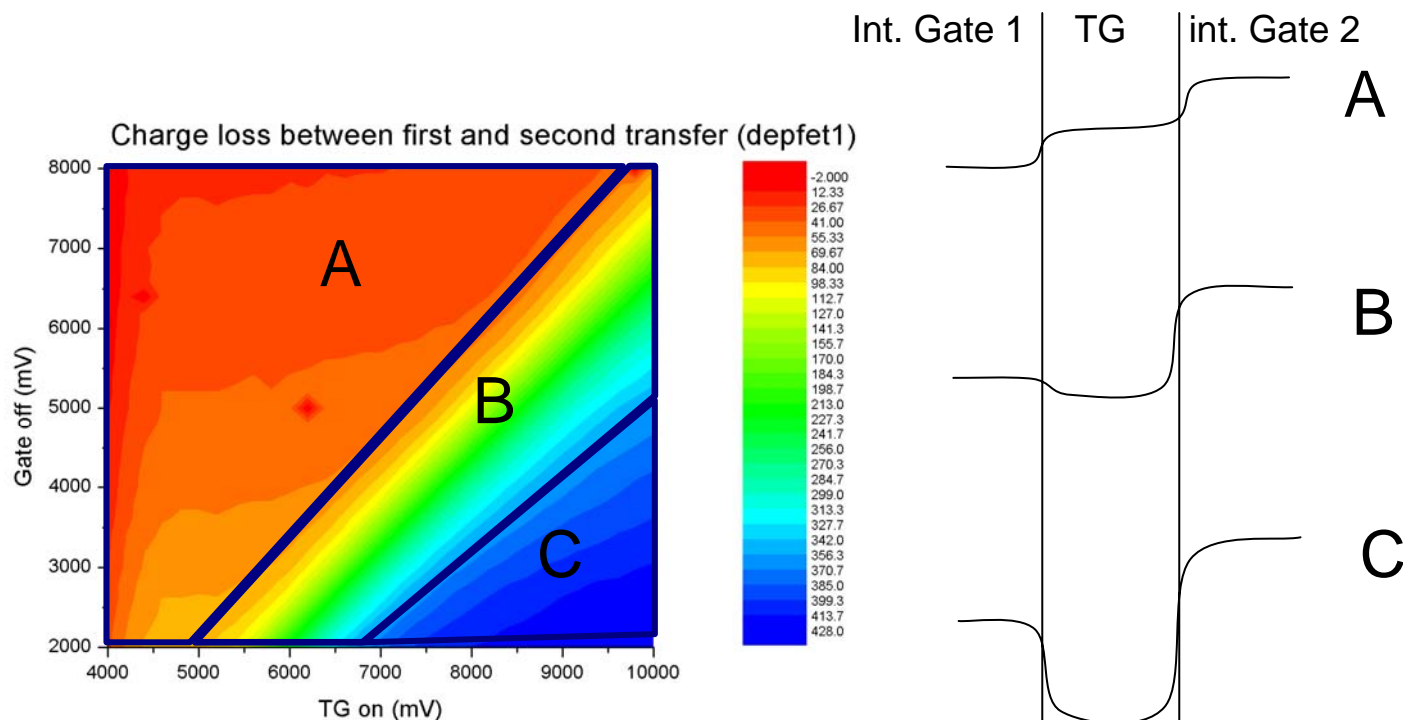
Halbleiterlabor  
der Max-Planck-  
Institute  
für Physik und  
extraterrestrische  
Physik








# The first devices: Charge loss in non-HE Ping-Pong

Halbleiterlabor  
der Max-Planck-  
Institute  
für Physik und  
extraterrestrische  
Physik



-  A) little chargeloss
-  B) some chargeloss
-  C) high chargeloss



F1  
50:50

STOP



# Telephone Joker: Rainer



Where does the charge loss come from?

➔ A: Special decay of the electron

➔ B: Electrons are repulsed into the bulk

➔ C: Interface traps under the transfergate

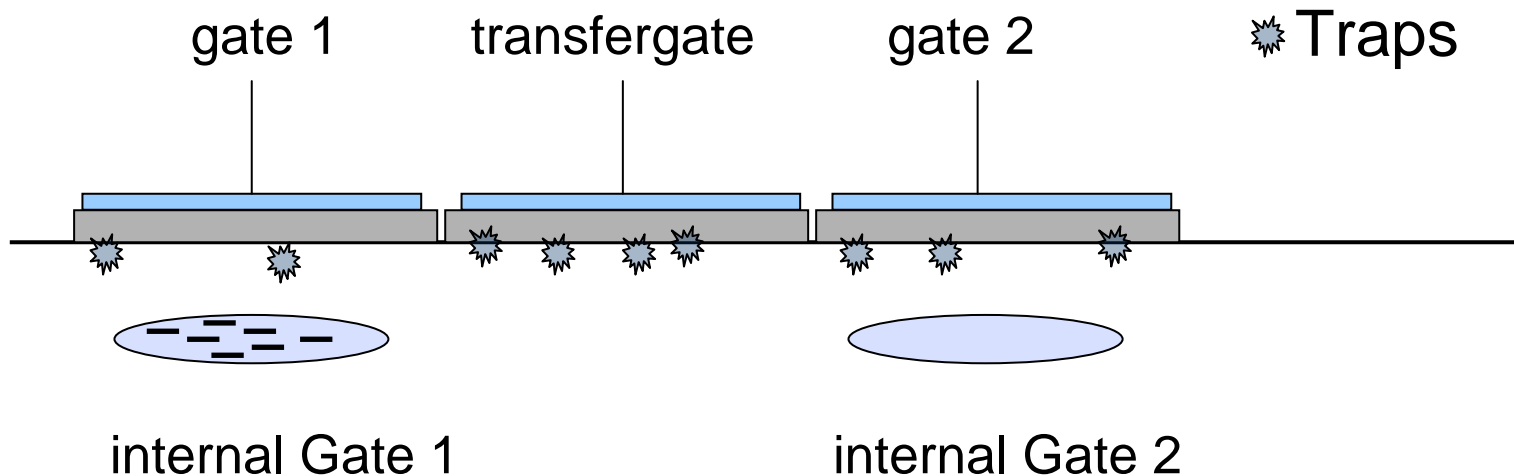
➔ D: New physics



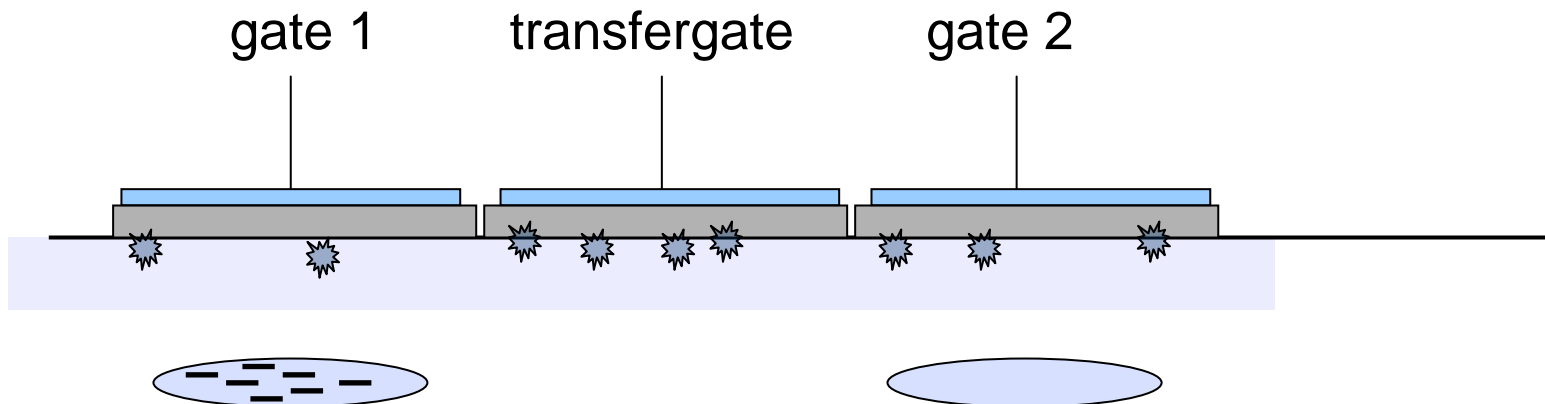
# Answer C) Charge loss due to traps

Halbleiterlabor  
der Max-Planck-  
Institute  
für Physik und  
extraterrestrische  
Physik

non HE:



HE:

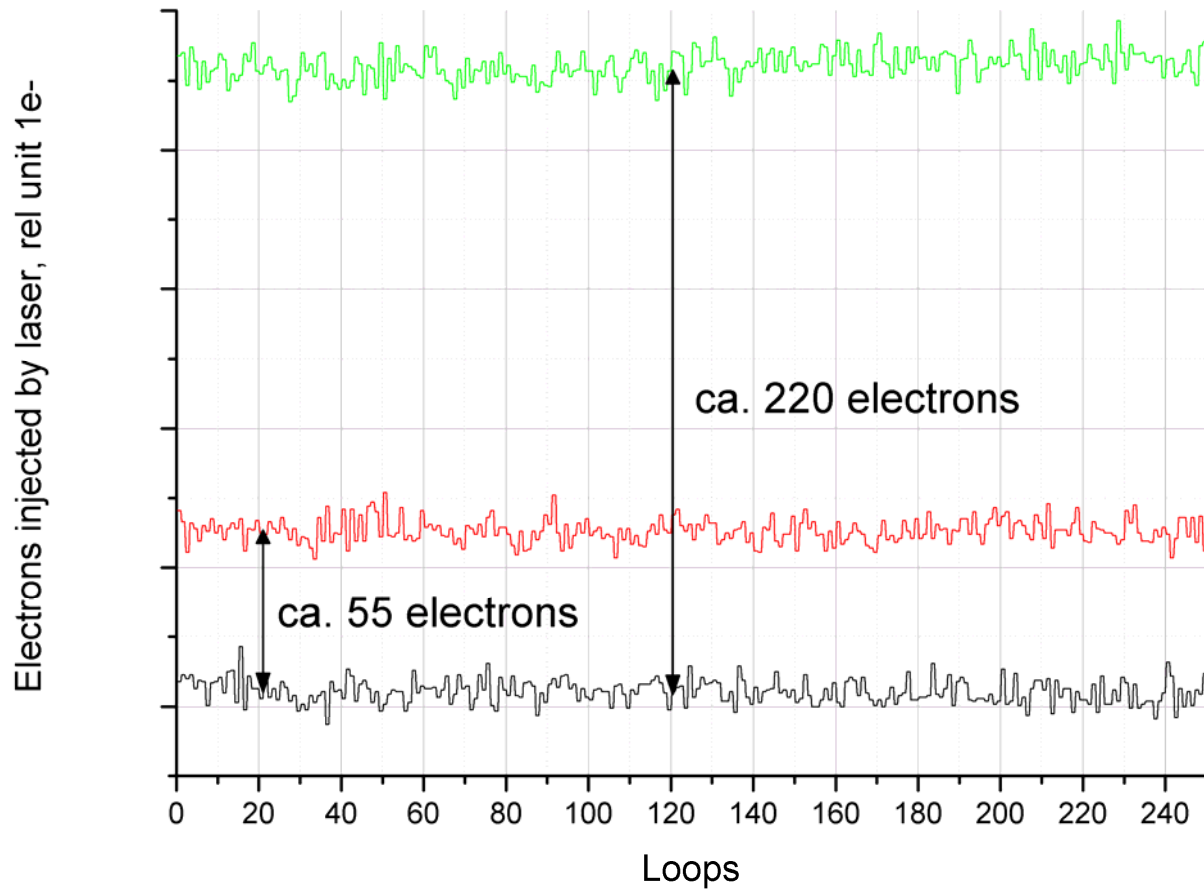




# No charge loss with HE-RNDRs

Halbleiterlabor  
der Max-Planck-  
Institute  
für Physik und  
extraterrestrische  
Physik

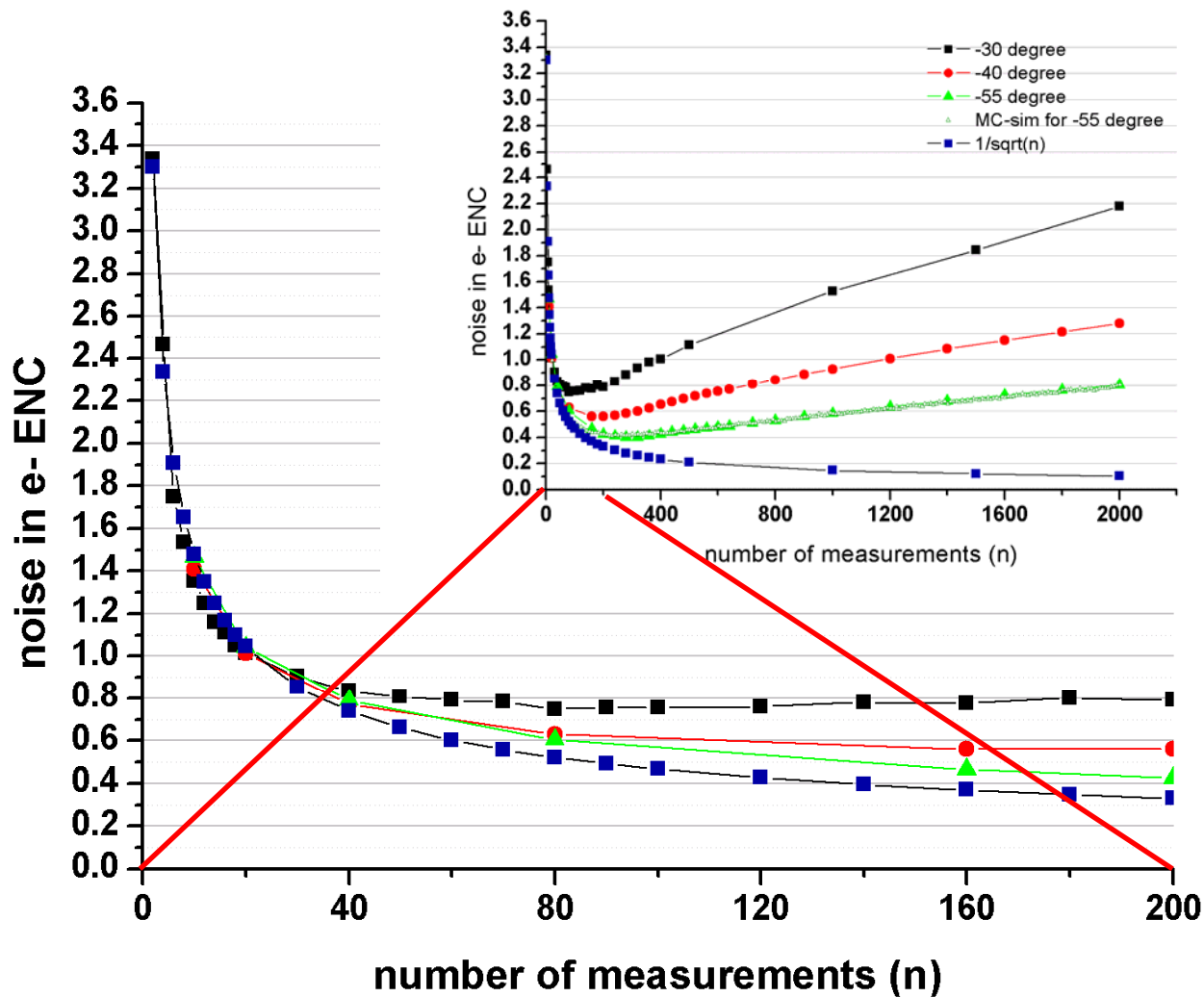
weak charge injection by laser -> no visible chargeloss





# Noise measurements with HE-devices

Halbleiterlabor  
der Max-Planck-  
Institute  
für Physik und  
extraterrestrische  
Physik



F1

50:50

STOP

F2



F3



Why does the noise first decrease and then increase again with a higher number of readouts?

→ A: White noise

→ B: Green noise

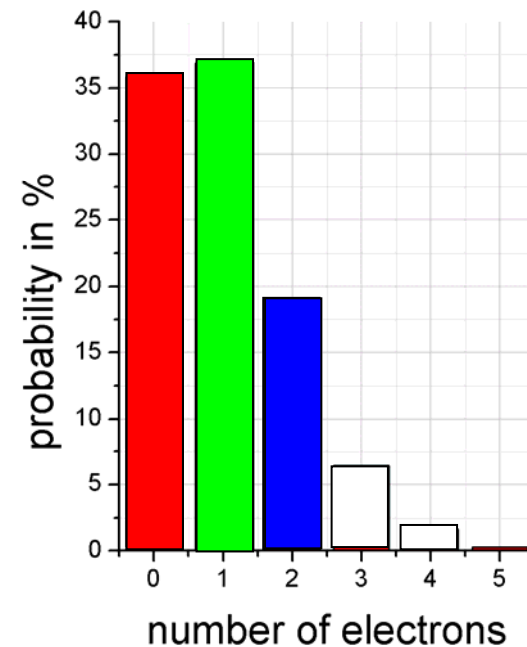
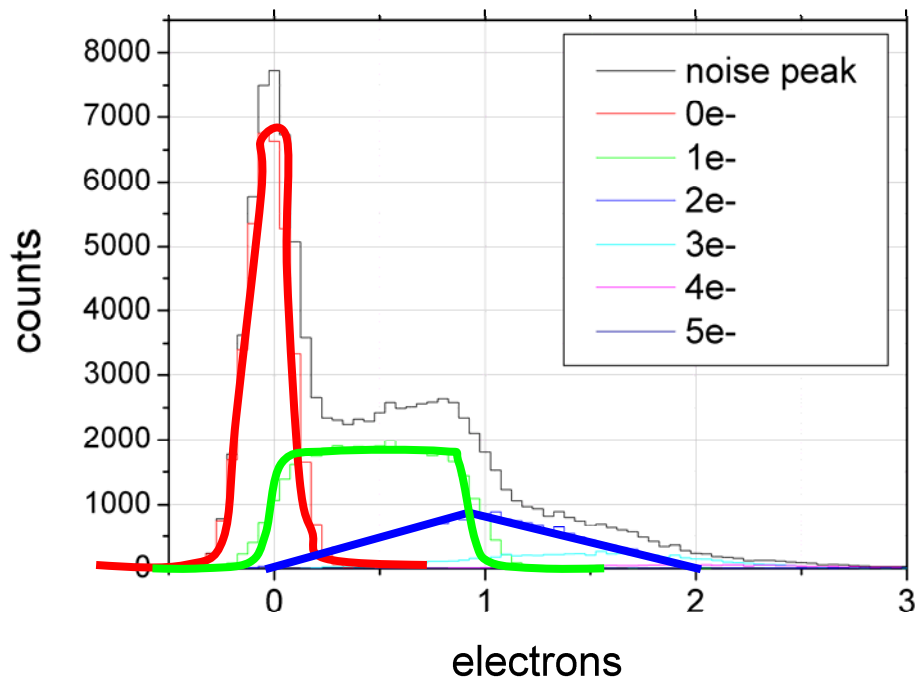
→ C: Red noise

→ D: Leakage current electrons



## Answer D) Noise peak of a RNDR-Device

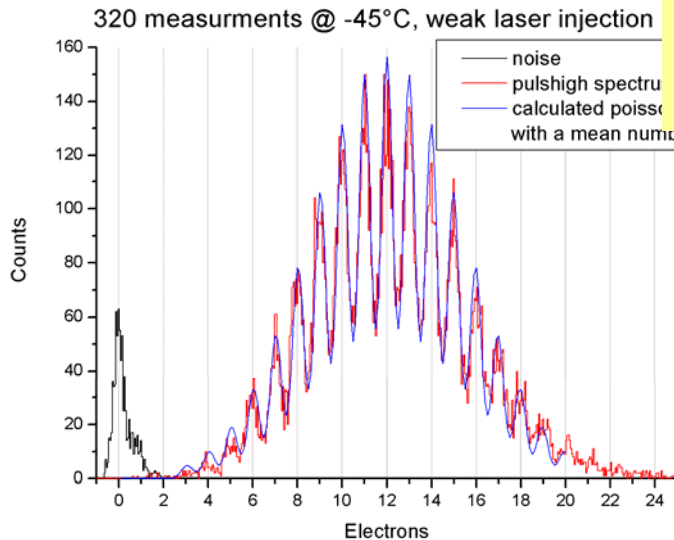
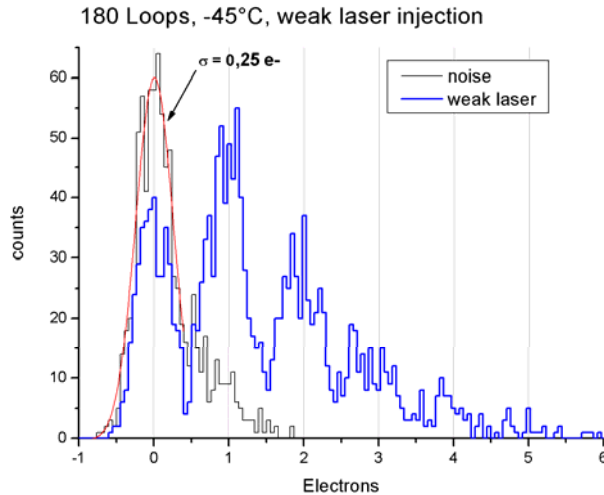
Halbleiterlabor  
der Max-Planck-  
Institute  
für Physik und  
extraterrestrische  
Physik



- ✘ For higher loop numbers the noise peak becomes more and more asymmetric.
- ✘ Asymmetry to higher energies (electrons) due to arriving electrons during readouts.



# What is the achievable resolution?



- ✗ Photon injection by laser during integration time
- ✗ 360 measurements (9,18 ms)
- ✗ Temperature: -45 degree

Single optical photon counting,

in terms of a real linear amplifier, e.g. it is possible to separate

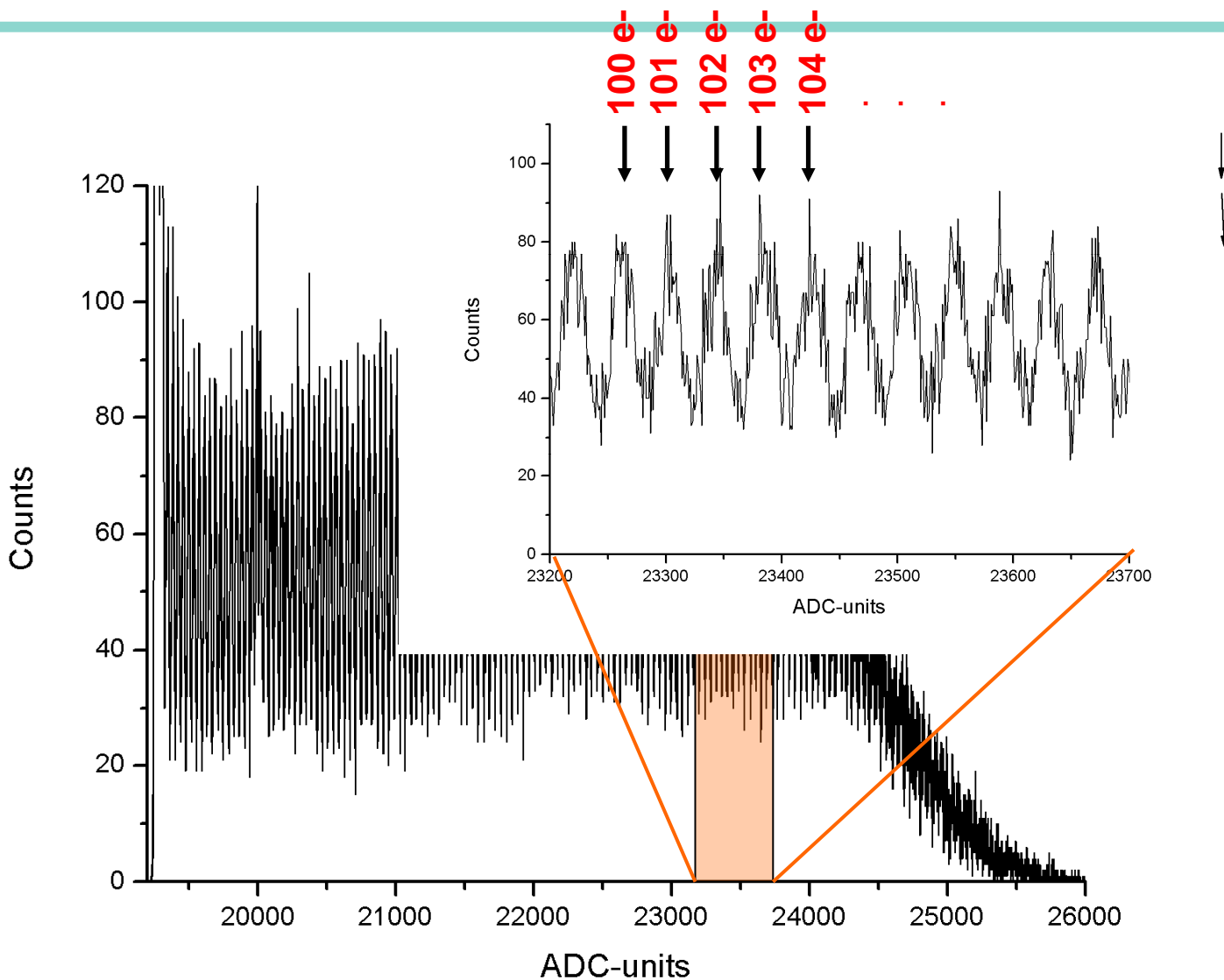
100 photoelectrons from 101!

- ✗ A readout noise of **0.18 e<sup>-</sup>** was measured. This is a new world record !



# How to distinguish 100 electrons from 101?

Halbleiterlabor  
der Max-Planck-  
Institute  
für Physik und  
extraterrestrische  
Physik

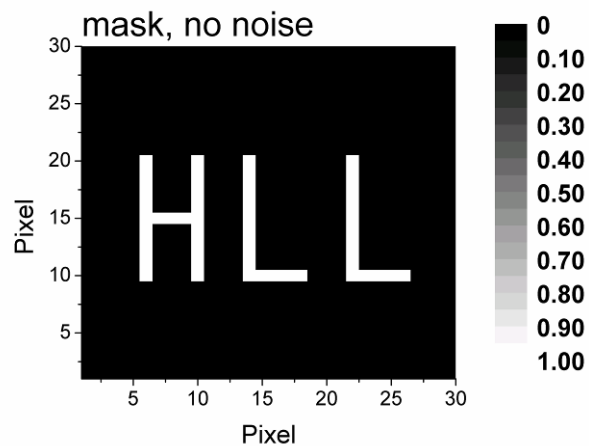




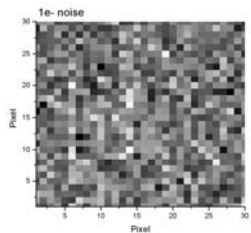


Halbleiterlabor  
der Max-Planck-  
Institute  
für Physik und  
extraterrestrische  
Physik

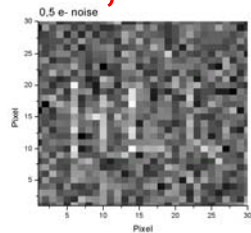
# What does a certain resolution mean in terms of contrast?



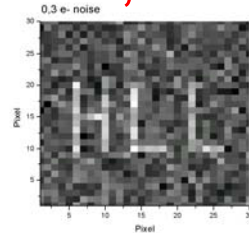
$\sigma = 1 e^-$



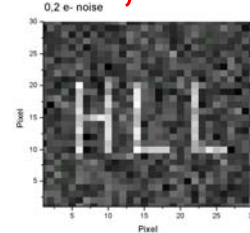
$0,5 e^-$



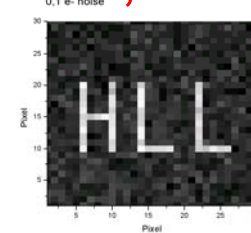
$0,3 e^-$



$0,25 e^-$



$0,1 e^-$



F1  
50:50



STOP



What is the optimum measurement time for one readout?

→ A: As long as possible

→ B: 1  $\mu$ s

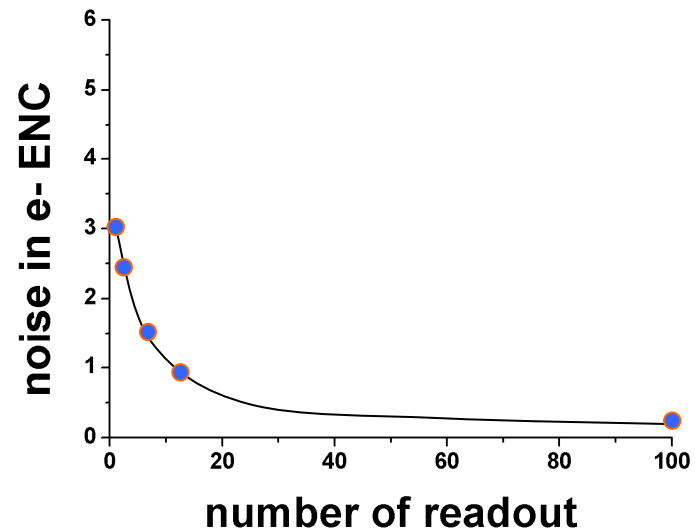
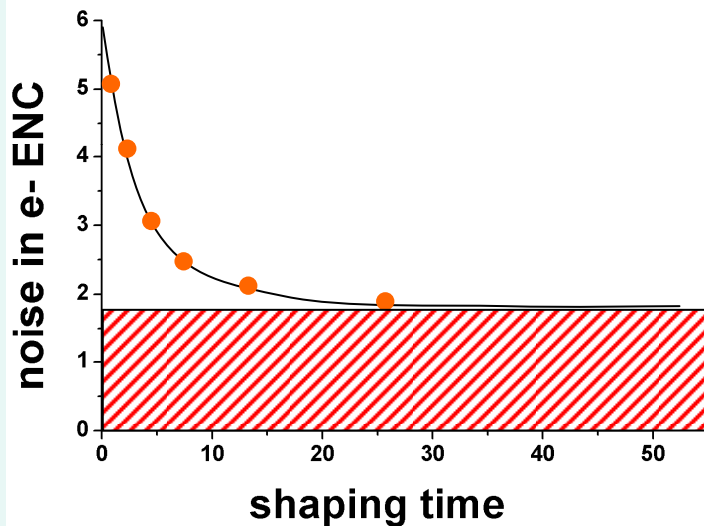
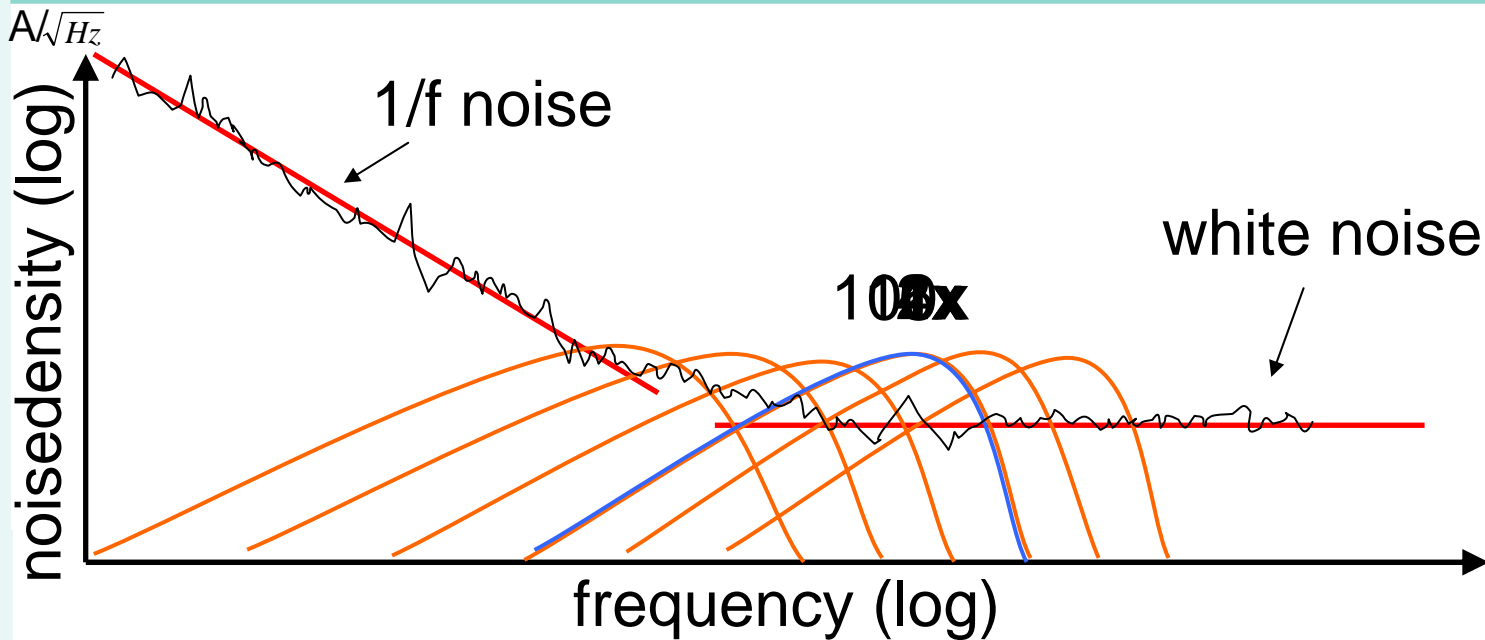
→ C: Short measurement, but many loops

→ D: It depends ...



# Answer D) It depends on the $1/f$ noise

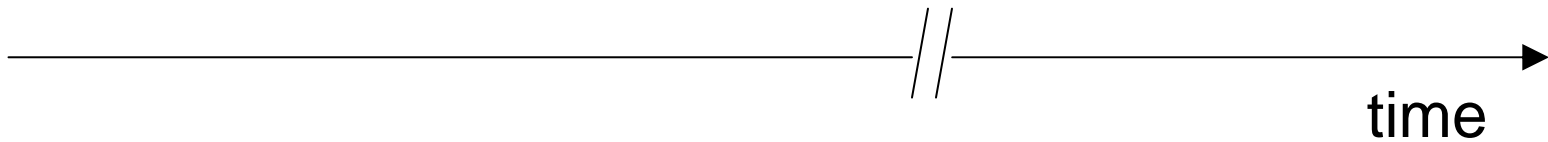
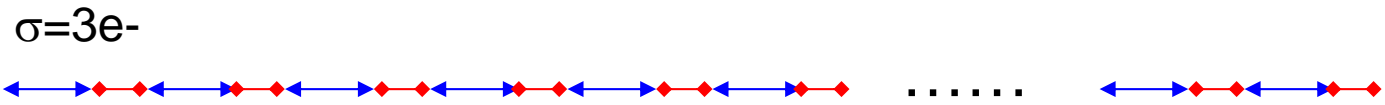
Halbleiterlabor  
der Max-Planck-  
Institute  
für Physik und  
extraterrestrische  
Physik





# The shortest time to achieve a certain noise

Halbleiterlabor  
der Max-Planck-  
Institute  
für Physik und  
extraterrestrische  
Physik



$$\tau_{opt} = \frac{1}{\sigma_{1/f}} \cdot \sqrt{a \cdot C^2 \cdot A_1 \cdot t_{no\ measurement}}$$

detector

electronics and detector

F1

50:50

50:50 Joker

STOP

F2



F3



Is that an important result?

→ A: Yes

→ B: No

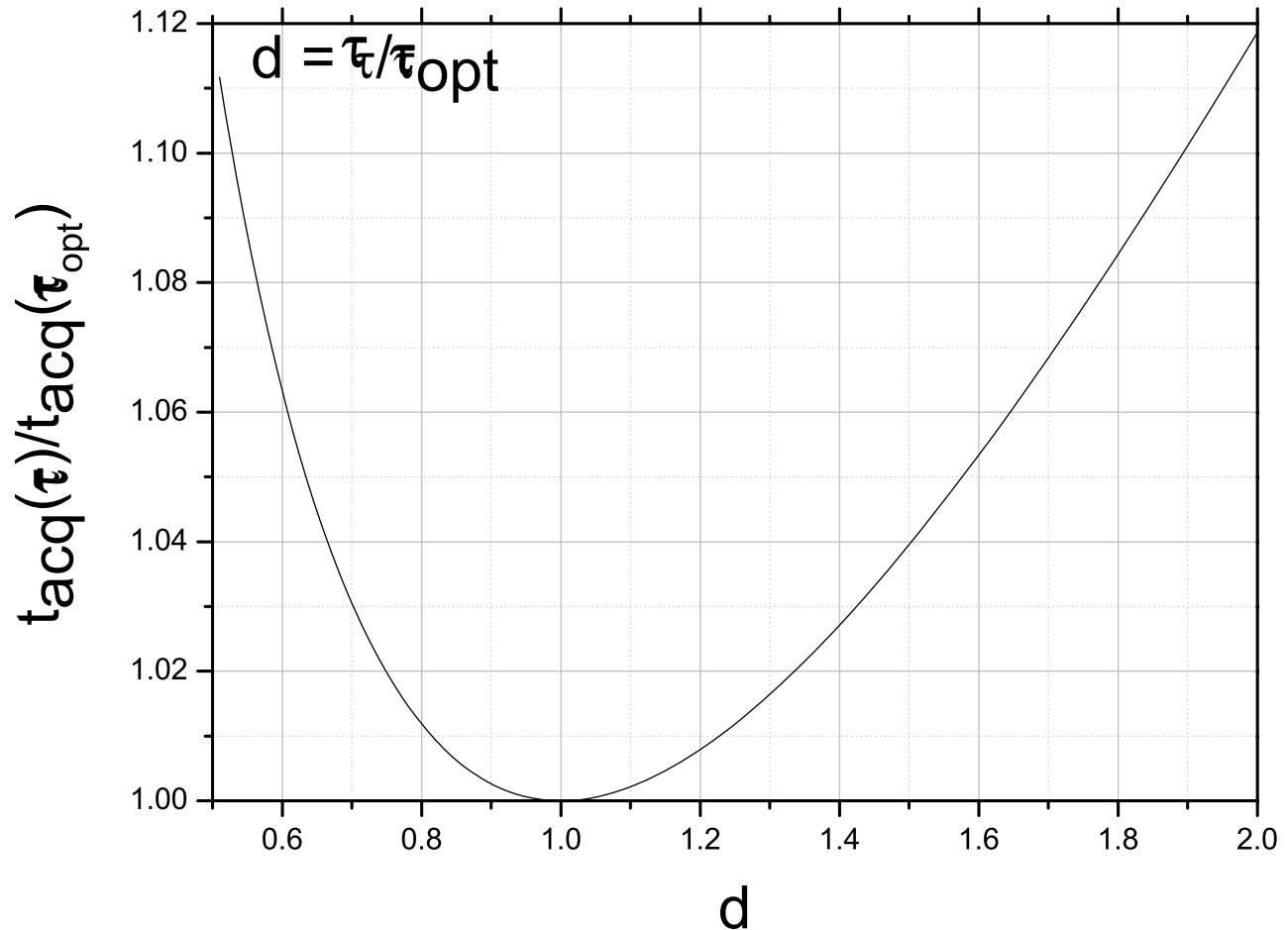
→ C: No

→ D: Yes



## Answer B and D) Impact on the overall readout time

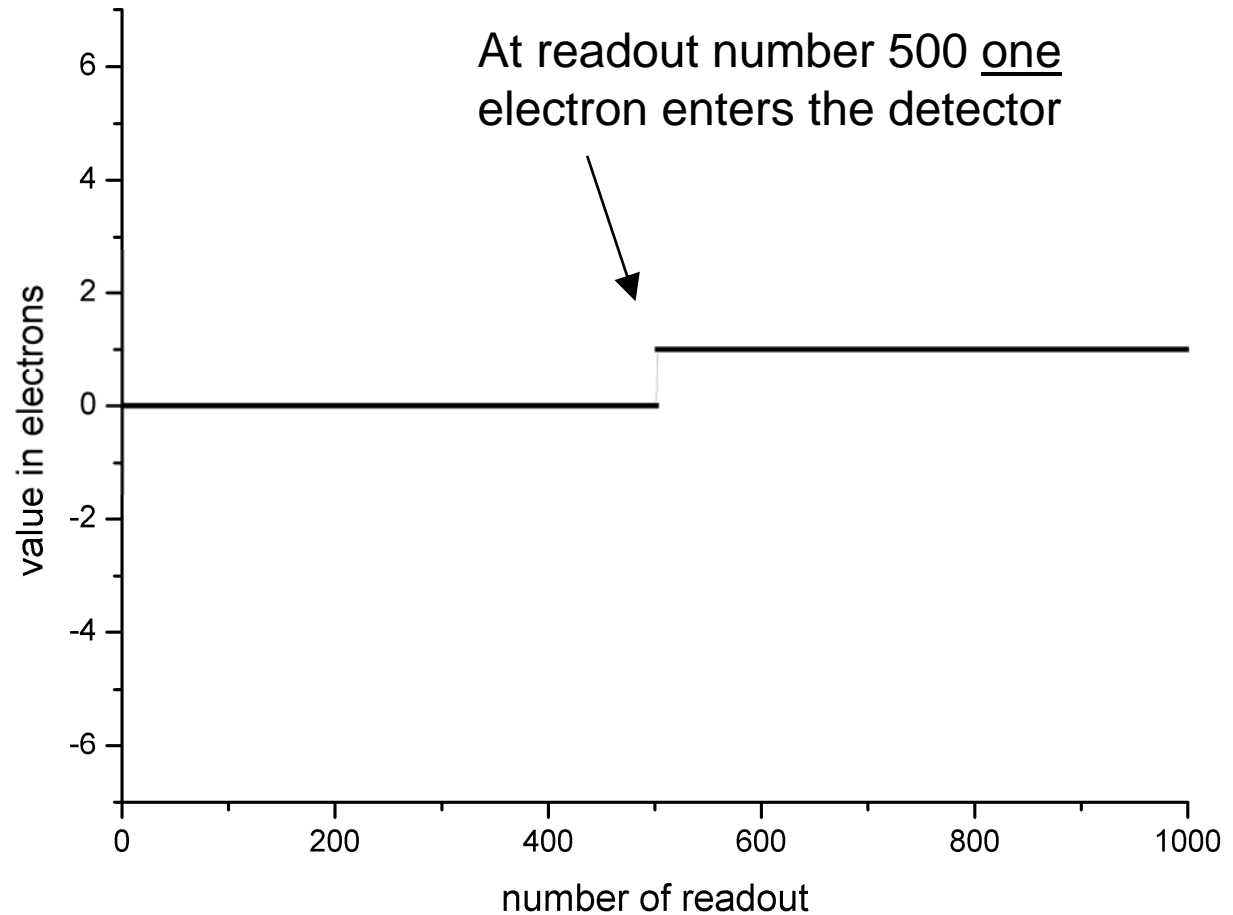
Halbleiterlabor  
der Max-Planck-  
Institute  
für Physik und  
extraterrestrische  
Physik





# Continuous running readout

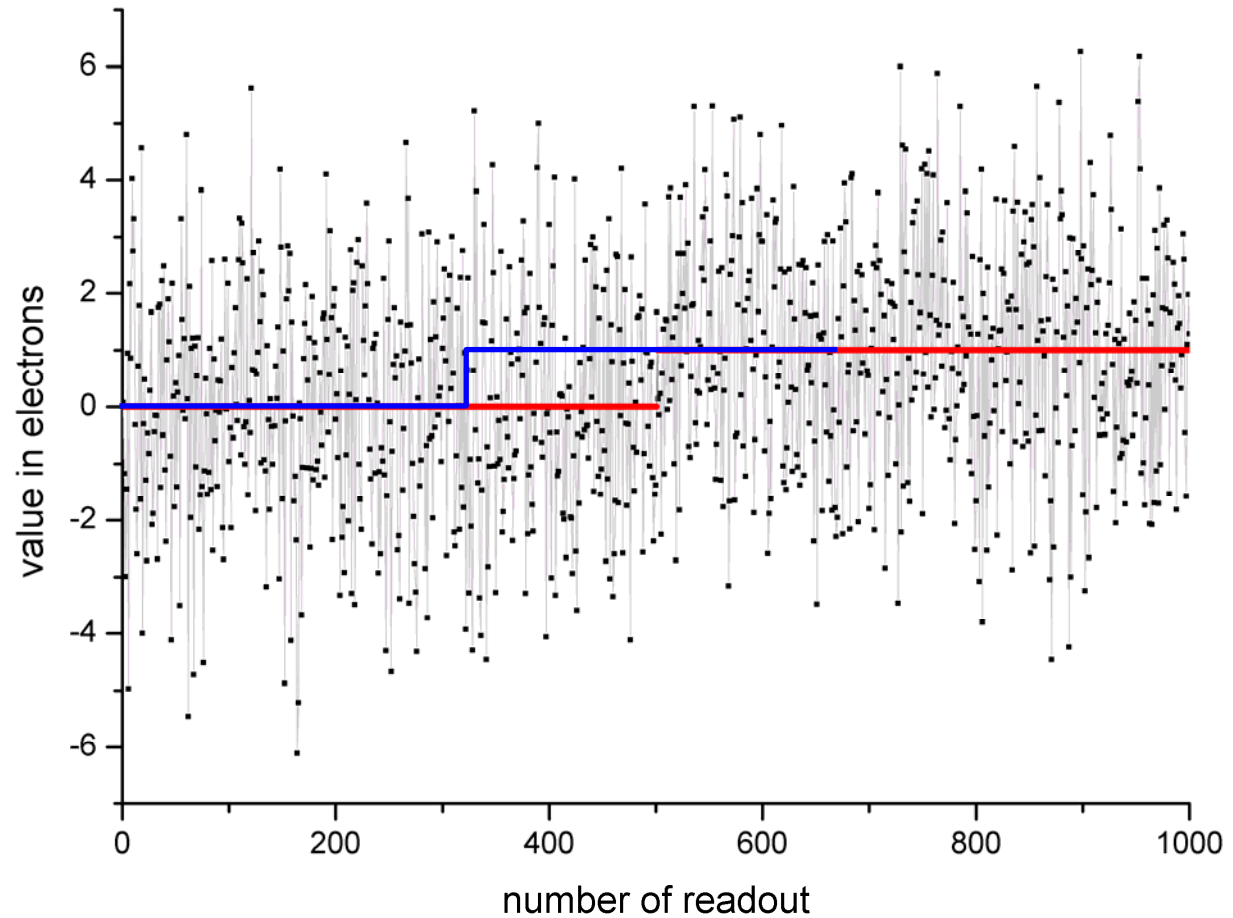
Halbleiterlabor  
der Max-Planck-  
Institute  
für Physik und  
extraterrestrische  
Physik





# Continuous running readout

Halbleiterlabor  
der Max-Planck-  
Institute  
für Physik und  
extraterrestrische  
Physik

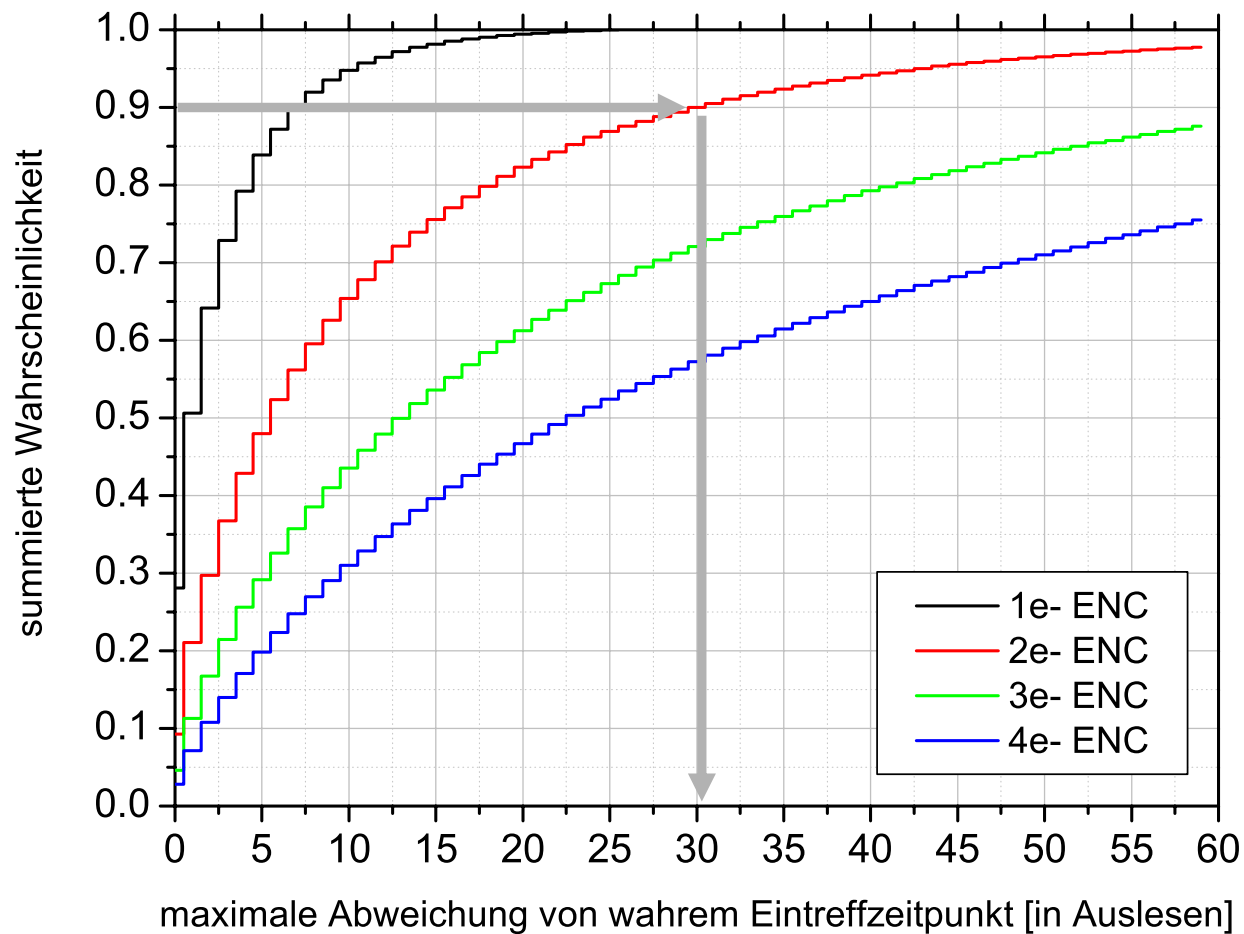






# Timing resolution of a RNDR device

Halbleiterlabor  
der Max-Planck-  
Institute  
für Physik und  
extraterrestrische  
Physik





Halbleiterlabor  
der Max-Planck-  
Institute  
für Physik und  
extraterrestrische  
Physik

# Next devices under production

- ✘ RNDR-Matrizes
- ✘ CCDs with DEPFET-RNDRs as readout nodes



Halbleiterlabor  
der Max-Planck-  
Institute  
für Physik und  
extraterrestrische  
Physik

## Summary and Conclusion

- ✗ **RNDR devices** were fabricated by connecting the internal gates of **two DEPFETs** via an additional transfer gate
- ✗ The number of collected electrons could be measured with a resolution of only **0,18 electrons**
- ✗ **Single optical photon** detection was achieved
- ✗ **Matrix** operation is possible
- ✗ **Readout** anode for **CCDs**
- ✗ Only **moderate cooling** (-50 °C) needed
- ✗ Possible applications:
  - ✗ Ultra low noise x-ray detector
  - ✗ Single optical photon detector
  - ✗ New detector concept: timing measurement with continuous readout